

TD D'ELECTRICITE 2 SERIE N°1

Exercice 1

- 1- Déterminer l'expression du champ magnétique \vec{B} dû à un fil conducteur rectiligne de longueur L parcouru par un courant continu I , en un point M situé à la distance R de ce conducteur. Ce conducteur est vu de M sous les angles α_1 et α_2 (voir figure 1a). En déduire le champ créé par un fil rectiligne infini

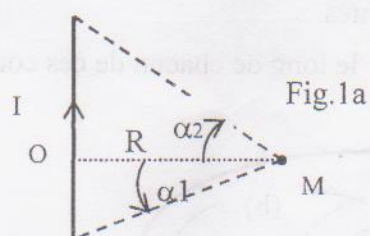


Fig.1a

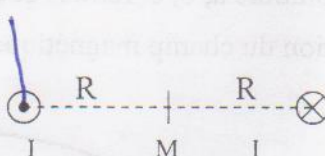


Fig.1b

- 2- La figure 1 b représente une coupe de deux fils infinis parallèles parcourus par des courants de même intensité I , de sens opposés. Déterminer, le champ magnétique \vec{B} créé en un point M situé à distance égale des deux fils.

Exercice 2

On considère une spire S , de centre O d'axe Oz et de rayon R vu sous l'angle α d'un point M de son axe (Figure 2). La spire est parcourue par un courant continu d'intensité I .

- 1- En utilisant des arguments de symétrie, déterminer la direction du champ magnétique \vec{B} créé par la spire au point M de l'axe Oz situé à une distance $z = OM$ (figure 2).
- 2- Déterminer l'expression de $\vec{B}(z)$ en fonction de μ_0 , I , α et z en utilisant la loi de Biot et Savart

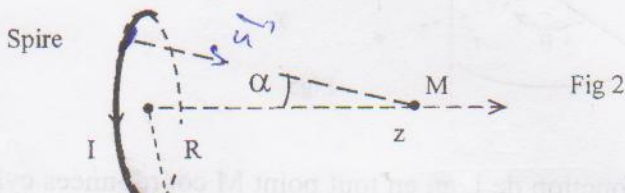


Fig 2

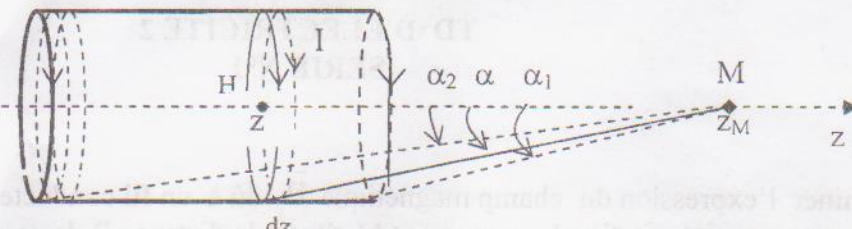
- 3- En déduire le champ créé par une bobine plate comportant (N) spires jointives au point M .

Exercice 3

On considère un solénoïde de longueur L comportant N spires jointives circulaires de rayon R , parcourues par un courant continu d'intensité I . On pose n le nombre de spires par unité de longueur.

On notera M un point de l'axe Oz du solénoïde et α_1 , α_2 les angles sous lesquels depuis M , on voit les faces extrêmes du solénoïde.

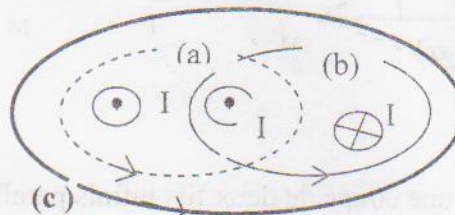
- 1- Calculer le champ magnétique élémentaire $d\vec{B}$ créé au point M par une tranche du solénoïde de longueur dz , constituant une bobine plate comportant ndz spires
- 2- En déduire l'expression du champ magnétique total $\vec{B}(M)$ créé au point M par le courant I.
- 3- Si la longueur du solénoïde devient infinie, donner l'expression du champ magnétique en un point de l'axe.



Exercice 4

La figure 4 représente trois courants filiformes de même intensité I dont un est de sens opposé aux deux autres et trois contours a, b, c fermés et orientés.

Déterminer la circulation du champ magnétique \vec{B} le long de chacun de ces contours en appliquant le théorème d'Ampère.



Exercice 5

Un conducteur rectiligne cylindrique d'axe Oz, de longueur supposée infini, de rayon R est parcouru par un courant continu I de densité volumique uniforme $\vec{J} = \vec{J}_0 z$.

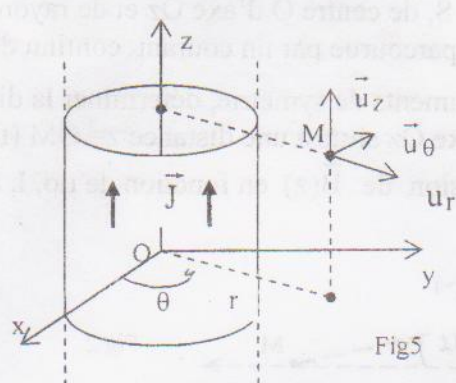


Fig5

1-Déterminer la densité de courant \vec{J} en fonction de I , en tout point M coordonnées cylindriques (r, θ, z) dans la base orthonormée $(\vec{u}_r, \vec{u}_\theta, \vec{u}_z)$ d'origine O (on considère les deux cas : $r > a$ et $r \leq a$).

2- En utilisant les propriétés des symétries et d'invariances d'une telle distribution de courant, justifier que le champ magnétique \vec{B} produit au point $M(r, \theta, z)$ est de la forme : $\vec{B}(r, \theta, z) = B(r)\vec{u}_\theta$.

3- Utiliser le théorème d'Ampère, pour déterminer la norme de \vec{B} en fonction de μ_0 , I, a et r (on considère les deux cas : $r > a$ et $r \leq a$)

1,5 dh

TD D'ELECTRICITE 2

SERIE N°2

Exercice 1

Un conducteur cylindrique creux d'épaisseur négligeable, d'axe \overrightarrow{oz} , de longueur infini et de rayon R . et parcouru par un courant I réparti en surface, de densité surfacique uniforme $\vec{J} = j\hat{e}_z$.

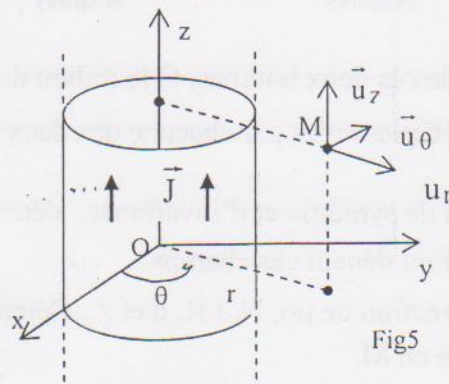


Fig5

- 1- En utilisant les propriétés de symétrie et d'invariance, déterminer la structure du champ magnétique \vec{B} (direction, sens, dépendance par rapport à quelle(s) coordonnées).
- 2- Déterminer en utilisant le théorème d'Ampère, le champ magnétique \vec{B} produit en un point M à la distance r de l'axe du conducteur.

Exercice 2

Un solénoïde de longueur infinie, comporte n spires par unité de longueur, de rayon R , parcourues par un courant d'intensité I .

- 1- Le champ magnétique \vec{B} est constant sur l'axe et a pour module $B = \mu_0 n I$. Démontrer en utilisant le théorème d'Ampère, qu'il est uniforme à l'intérieur du solénoïde.
- 2- Montrer qu'il est nul à l'extérieur du solénoïde.

Exercice 3

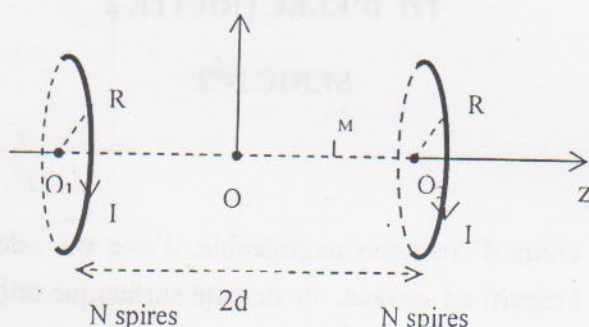
Un conducteur filiforme, rectiligne, infini et parcouru par un courant continu I , crée en tout point de l'espace un champ magnétique \vec{B} .

- 1- Calculer le flux Φ de \vec{B} , à travers un cylindre fermé ayant pour axe le fil. Donner une interprétation du résultat trouvé. Déterminer l'équation différentielle qui traduit la conservation du flux.

- 2- Utiliser le théorème de Stokes et donner l'expression du flux de \vec{B} à travers une surface (S) quelconque, limitée par un contour fermé (Γ), en fonction du potentiel vecteur \vec{A} .

Exercice 4 : Bobines d'Helmotz

Soit 2 bobines plates circulaires identiques d'axe Oz, de rayon R comportant chacune N spires parcourues par le même courant I.



Soient O_1 et O_2 les centres de ces deux bobines, O le milieu de $[O_1, O_2]$, $2d$ la distance $O_1 O_2$. Soit \vec{B}_1 et \vec{B}_2 les champs magnétiques créés par chacune des deux bobines en un point M situé sur l'axe Oz, d'abscisse z .

- 1- En utilisant les propriétés de symétrie et d'invariance, déterminer la direction, le sens des champs \vec{B}_1 et \vec{B}_2 et la coordonnée dont dépendent ces champs.
- 2- Exprimer \vec{B}_1 et \vec{B}_2 en fonction de μ_0 , N , I , R , d et z . Déterminer le champ $\vec{B}(M)$ créé par l'ensemble des deux bobines en M .
- 3- Montrer que ce champ présente un maximum en O . Calculer $\vec{B}(O)$ en fonction de μ_0 , N , I , R , d

TD D'ELECTRICITE 2

SERIE N°3

Exercice 1

Un solénoïde infini de rayon R_s , comportant n spires par unité de longueur, a même axe qu'une bobine plate composée de N_b spires circulaires de rayon $R_b > R_s$. Les spires du solénoïde sont parcourues par le courant d'intensité I (figure 1).

1- Rappeler l'expression du champ magnétique produit par le solénoïde infiniment long en tout point M de l'espace.

2- En déduire l'expression du potentiel vecteur \vec{A} en tout point de l'espace par le calcul de la circulation de \vec{A} .

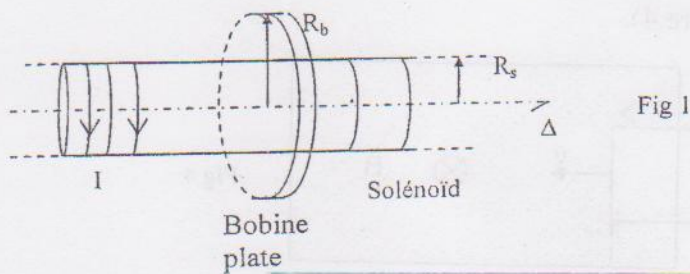


Fig 1

Exercice 2 : Effet Hall

Soit un mince ruban de cuivre de largeur a , d'épaisseur b , parcouru par un courant I dans le sens de la longueur, il est plongé dans un champ magnétique uniforme \vec{B} perpendiculaire au ruban dans le sens de \vec{e}_z . On appelle M et P les deux faces au bord du ruban, ces deux faces étant distantes de b .

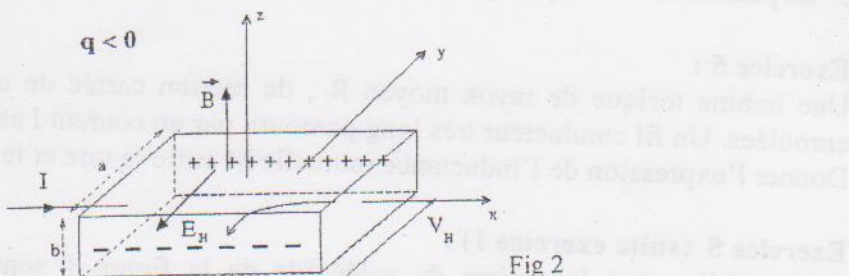


Fig 2

1- En admettant que les électrons de conductions en mouvement de vitesse v dans le ruban de cuivre sont soumis, comme dans le vide, à la force de Lorentz, montrer qu'il apparaît entre les deux faces M et P une tension électrique V_H appelée tension de Hall. On indiquera le sens de V_H et les polarités des faces M et P du ruban

2- Déterminer V_H en fonction de a , v et B

3- En déduire V_H en fonction de I , B et b en faisant appelle au vecteur densité de courant \vec{J}

Exercice 3 :

On considère la roue de Barlow de centre O et de Rayon R de la figure 3, placée dans un champ magnétique uniforme perpendiculaire au plan de la roue. Cette roue de rayon R n'est en contact avec le mercure qu'en un point M. En admettant que le courant ne traverse la roue que suivant le rayon OM, calculer :

- 1- la force de la palce résultante qui s'exerce sur la roue.
- 2- Son moment par rapport à l'axe de rotation
- 3- La puissance du moteur ainsi constitué lorsque la roue effectue n tours par seconde

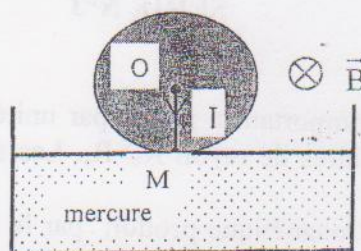


Fig 3

Exercice 4 :

On considère une bobine rectangulaire de côtés a et b formé de N spires de résistance totale $R=16\Omega$. La bobine est attirée à une vitesse constante $v=1\text{m/s}$ dans une région d'épaisseur d où règne un champ magnétique uniforme \vec{B} ($B=2\text{T}$) (figure 4).

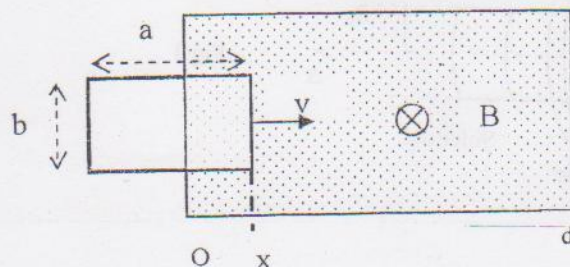


Fig 4

Tracer en fonction de la position x de celle-ci, les courbes suivantes :

- 1- Le flux magnétique ϕ à travers la bobine. On donne $h=4\text{cm}$; $a=10\text{cm}$, $d=15\text{cm}$, $N=2$.
- 2- La f.e.m induite «e» en fonction de x
- 3- La puissance P dissipée par effet joule par la résistance R.

Exercice 5 :

Une bobine torique de rayon moyen R , de section carrée de côté $2a$, possède N spires régulièrement enroulées. Un fil conducteur très long parcouru par un courant I est placé suivant l'axe de ce tore. Donner l'expression de l'inductance mutuelle M entre le tore et le fil.

Exercice 5 (suite exercice 1) :

On considère que les spires du solénoïde de la figure 1 sont parcourues par le courant d'intensité $I = I_m \cos(\omega t)$.

- 1- Déterminer l'expression de la force électromotrice induite dans la bobine par deux méthodes : Loi de Faraday et circulation du champ électromoteur de Neumann.
- 2- Déterminer le coefficient d'induction mutuelle M du système formé par le solénoïde et la bobine

Exercice 7 :

Retrouver, à partir de la densité d'énergie magnétique U_m , l'inductance L d'un solénoïde de rayon R et de longueur ℓ composé de N spires

2,5 dh

TD D'ELECTRICITE 2

SERIE N°4

Exercice 1 :

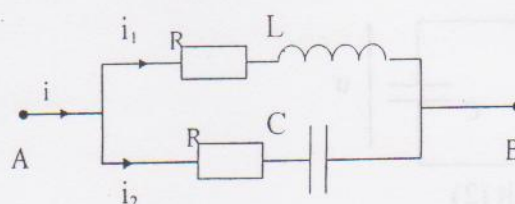
Une bobine torique d'axe Δ , de rayon moyen R , de section carrée de coté $2a$, possède N spires régulièrement enroulées.

- 1- Calculer le coefficient d'auto-inductance L du tore.
- 2- Le tore de résistance r est relié à un générateur de force électromotrice E par l'intermédiaire d'un interrupteur. A l'instant $t=0$, on ferme l'interrupteur. Donner l'expression de la force électromotrice d'auto-induction e
- 3- Déterminer l'équation différentielle vérifiée par le courant I qui s'établit dans le circuit à l'instant t et en déduire l'expression de I .
- 4- Calculer l'énergie magnétique emmagasinée par le tore lorsque le régime permanent est atteint.

Exercice 2

Considérons le circuit ci-dessous, on applique entre A et B une tension sinusoïdale $u(t) = U_m \cos(\omega t)$, on pose $R = L\omega = \frac{1}{C\omega}$

- 1- Trouver l'impédance complexe \bar{Z} équivalente du circuit AB.
- 2- Donner l'expression des courants i , i_1 et i_2



Exercice 3

Un appareil électrique M d'inductance L en série avec une résistance R , alimenté par une tension sinusoïdale (220V, 50Hz), consomme la puissance $P=5,5\text{KW}$. L'intensité efficace du courant qui le traverse est 32A

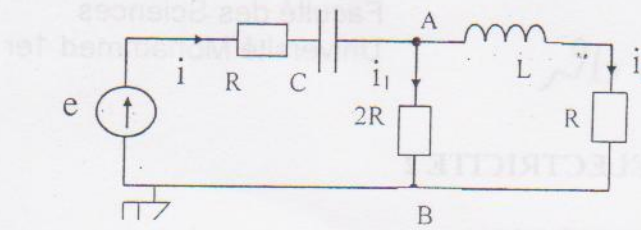
- 1- Calculer le facteur de puissance de l'appareil. En déduire le déphasage ϕ de la tension $u(t)$ par rapport au courant $i(t)$,
- 2- On place en parallèle à M un condensateur de capacité C , déterminer, en utilisant la méthode de Fresnel, le nouveau déphasage ϕ'

Exercice 4

Considérons le circuit ci-dessous, alimenté par une source de tension de f.e.m $e = E_m \cos \omega t$. La pulsation est telle que $L\omega = R = 1/C\omega$. Déterminer le courant i_2 circulant dans l'inductance L :

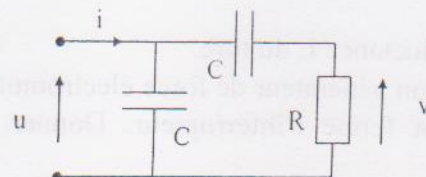
- 1- Par application des lois de Kirchhoff

2- Par application du théorème de Thévenin



Exercice 5

Considérons le circuit ci-dessous, alimenté par une tension sinusoïdale $u(t) = U_m \cos(\omega t)$. La pulsation est telle que : $\omega = 1/RC$.



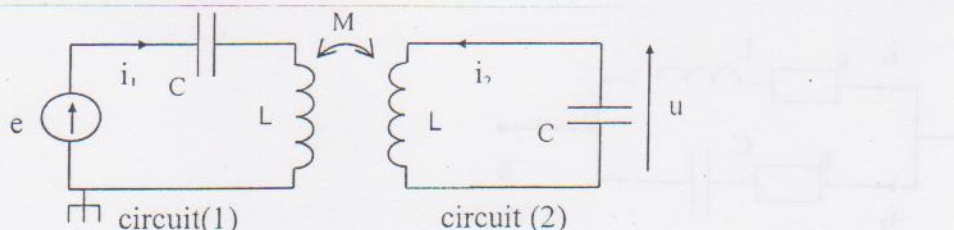
$$1-\text{ Calculer l'impédance d'entrée complexe } \bar{Z}_e = \frac{\underline{u}}{\underline{i}}$$

- 2- Calculer en fonction de U_m et R , la puissance fournie par le générateur et la puissance reçue par la résistance R
par le tore lorsque le régime permanent est atteint.

Exercice 6

Considérons le montage ci-dessous, de deux circuits couplés par inductance mutuelle. Le circuit (1) est alimenté par un générateur de tension de f.e.m : $e(t) = E \cos\omega t$. Calculer le rapport complexe :

$$\bar{H} = \frac{\underline{u}}{\underline{e}}$$



Correction Série n=1 Electricité 2.

Exercice 1

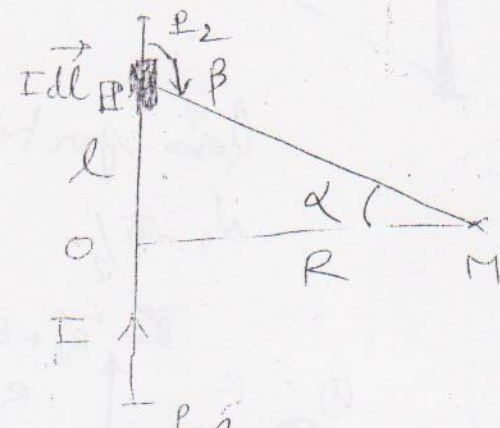
- on choisit le repère $(0, \vec{e}_x, \vec{e}_y, \vec{e}_z)$

L'élément de courant \vec{dl} centre en P tel que

$$\vec{OP} = l \vec{e}_z \text{ avec au pt M.}$$

Le champ \vec{dB} tel que

$$\vec{dB} = \frac{\mu_0}{4\pi} \frac{I dl \times \vec{PM}}{PM^3}$$



- direction de \vec{dB}
perpendiculaire au plan (dl, PM)

- Sens de \vec{dB} : orienté suivant \vec{e}_o (fire-brûlon)

$$\text{modèle de } \vec{dB} : dB = \frac{\mu_0}{4\pi} \frac{I dl \sin(\beta)}{PM^2} \hat{e}_o$$

Le champ total :

$$\vec{B} = B \vec{e}_o \text{ avec } B = \int_{P_0}^{P_2} dB$$

Principe de superposition

* Variable d'intégration à telles

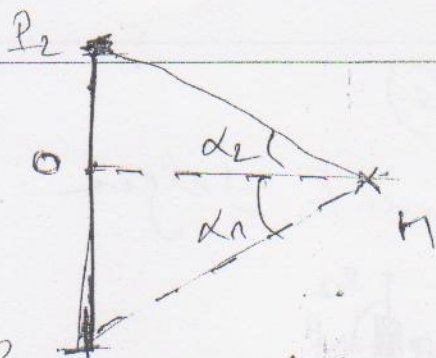
$$\alpha = \beta - \pi/2 \Rightarrow \sin \beta = \cos \alpha.$$

$$\cos \alpha = \frac{R}{PM} \Rightarrow \frac{1}{PM} = \frac{\cos \alpha}{R}$$

$$\int dl = \frac{l}{R} \rightarrow dl = \frac{R}{\cos^2 \alpha} d\alpha$$

$$\text{on obtient } dB = \frac{\mu_0 I}{4\pi R} \cos \alpha d\alpha \quad (2)$$

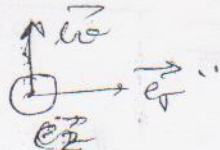
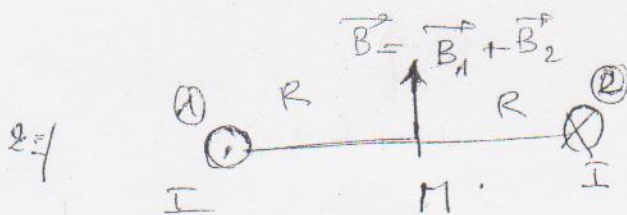
$$\text{et } B = \frac{\mu_0 I}{4\pi R} \int_{\alpha_1}^{\alpha_2} \cos \alpha d\alpha = \frac{\mu_0 I}{4\pi R} (\sin \alpha_2 - \sin \alpha_1)$$



$$\vec{B} = \frac{\mu_0 I}{4\pi R} (\sin \alpha_2 - \sin \alpha_1) \hat{z}$$

cas particulier du fil :

$$\alpha_2 = \pi/2 \quad \alpha_1 = -\pi/2 \rightarrow \vec{B} = \frac{\mu_0 I}{2\pi R} \hat{z}$$



Soit \vec{B}_1 le champ créé par le fil conducteur ①
gauche et \vec{B}_2 ...

$$\vec{B}_1 = \frac{\mu_0 I}{2\pi R} \hat{z}$$

$$\vec{B}_2 = \frac{\mu_0 I}{2\pi R} \hat{z}$$

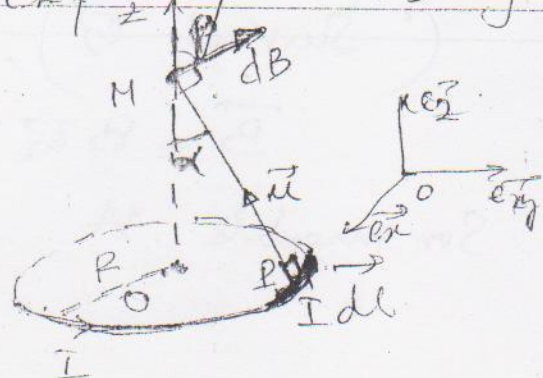
Le champ total sera la somme des 2 conducteurs.
Et alors $\vec{B} = \vec{B}_1 + \vec{B}_2 = \frac{\mu_0 I}{\pi R} \hat{z}$

Exercice 2

on choisit le repère $(0, \vec{e}_x, \vec{e}_y, \vec{e}_z)$.

élément de courant $d\vec{l}$ centré en P produisant
en un point M de l'axe le champ magnétique \vec{dB} : tel que

$$\vec{dB} = \frac{\mu_0 I}{4\pi} \frac{d\vec{l}}{PM^3}$$



direction \vec{dB} (\perp au plan $(dl, \vec{P}n)$)

Sous telque le triade $(dl, \vec{P}n, \vec{dB})$ direct.

module $dB = \frac{\mu_0 I}{4\pi} \frac{dl}{PM^2} \quad \left((\vec{dl}, \vec{P}n) = \frac{\pi}{2} \right)$

$$dB = \frac{\mu_0 I}{4\pi} \frac{dl}{PM^2}$$

Champ total $\vec{B} = \int_{\text{spire}} \vec{dB}$

Propriétés de symétrie.

on choisit le repère $(0 \vec{e}_x, \vec{e}_y, \vec{e}_z)$

Symétrie: on remarque que le plan $(y_0 z)$ est

un plan d'antisymétrie pour le courant,

comme $\Pi \in (y_0 z) \Rightarrow \vec{B}(M) \parallel (y_0 z) \Rightarrow B_x(M) = 0$

le plan $(x_0 z)$ est aussi un plan d'antisymétrie \Rightarrow

$\vec{B}(M) \parallel (x_0 z) \Rightarrow B_y(M) = 0 \Rightarrow \vec{B}(M) = B(M) \vec{e}_z$

Le champ total \vec{B} est alors forté par l'axe \vec{OZ} ; son sens est donné par la règle du fire-bouclier:
 (Survol \vec{e}_z).

$$\vec{B} = B \vec{e}_z$$

Si on mesure B_z et $B_2 = \int_{\text{spire}} dB_z (M)$

avec dB_z : projection de dB sur l'axe \vec{OZ} .

$$dB_z = \vec{dB} \cdot \vec{e}_z = dB \cos \varphi = dB \sin \alpha.$$

Vari

$$\Rightarrow dB_z = \frac{\mu_0 I}{4\pi} \frac{dl \sin \alpha}{R^2} \times \frac{\sin^3 \alpha}{R^2} dl$$

car $\sin \alpha = R/\rho M$.
 Choisir la variable d'intégration: ~~le~~ dl de R à $R + dl$

$$\Rightarrow dB_z = \frac{\mu_0 I}{4\pi} \frac{\sin^3 \alpha}{R} d\theta$$

$$B_z(M) = \frac{\mu_0 I}{4\pi} \frac{\sin^3 \alpha}{R} \int_0^{2\pi} d\theta = \frac{\mu_0 I}{2R} \sin^3 \alpha$$

On peut aussi exprimer \vec{B} en fonction de la Côte

$$\text{du point } A. \quad \sin \alpha = \frac{R}{\rho M} = \frac{R}{\sqrt{R^2 + z^2}}$$

$$\text{et } \vec{B}(M) = \frac{\mu_0 I}{2} \frac{R^2}{(\sqrt{R^2 + z^2})^3} \vec{e}_z$$

$$\text{au centre } O: z=0 \Rightarrow \vec{B}(O) = \frac{\mu_0 I}{2R} \vec{e}_z.$$

$$\text{Bobine plate } \vec{B} = N \vec{B}_A = +\frac{\mu_0 I}{2} \frac{R^2}{z^3} \vec{e}_z$$

TD : Electromagnétisme

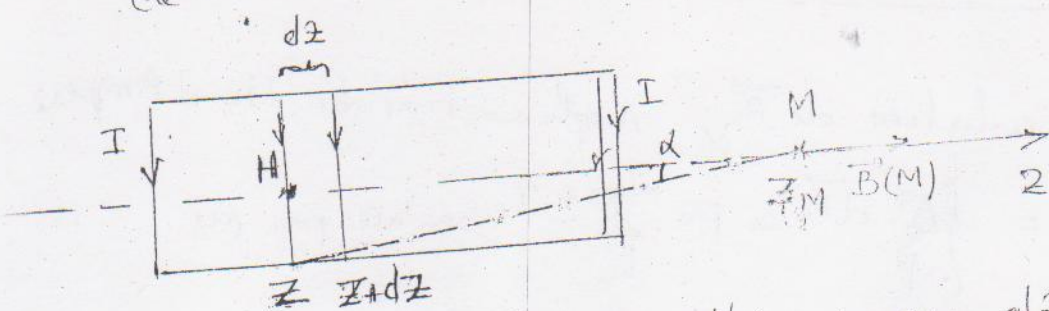
Série n=1

2011 / 2012 - Semestre 3.

Ex 3

les spires sont jointives : le champ mag \vec{B} en M s'obtient en faisant la somme des champs colinéaires produits par toutes les spires

$\Rightarrow \vec{B}$ est porté par \vec{oz} ; son sens est donné par la règle de la main droite.



Une tranche du solénoïde d'épaisseur dz , contient $m dz$

Spires (avec $m = \frac{N}{L}$)

Celle-ci, constituant une bobine plate, produit en M de l'ax \vec{oz} , le chp mag élémentaire $d\vec{B} = m dz \times \vec{B}_{(spire)}$

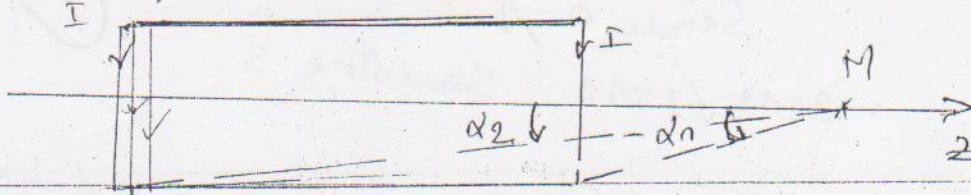
$\vec{B}_{(spire)}$: champ d'une spire

$$d\vec{B}_z = dB_z \hat{z} = m dz \times \frac{\mu_0 I}{2R} \sin^2 \alpha \hat{z} \quad (\text{Voir résultat de l'exercice 4 série 1})$$

2) Choisissons α comme variable d'intégration, on a :

$$mH = z_M - z = R \cos \alpha \quad \Rightarrow \quad dz = \frac{R}{\sin^2 \alpha} d\alpha$$

$$\Rightarrow dB_z = \frac{\mu_0 I}{2} \sin \alpha \cdot dz \quad \Rightarrow \quad B = \int_{Solen} dB_z = \frac{\mu_0 I}{2} \int_{d_2}^{d_1} \sin \alpha dz$$



$$\vec{B} = \frac{\mu_0 n I}{2} (\cos \alpha_2 - \cos \alpha_1) \hat{e}_z$$

3/ Dans le cas où l'axe tend vers l'infini: on a:

$$\alpha_2 \rightarrow 0 \quad \text{et} \quad \alpha_1 \rightarrow \pi$$

$$\Rightarrow \vec{B}_{\infty} = \frac{\mu_0 n I}{2}$$

Exercice Circulation de \vec{B} ; Application du Th d'Amperé

$$Q_{(a)}(\vec{B}) = \oint_{(a)} \vec{B} \cdot d\vec{l} = \mu_0 \sum_k \pm I_k \text{ enlacé par (a)}$$

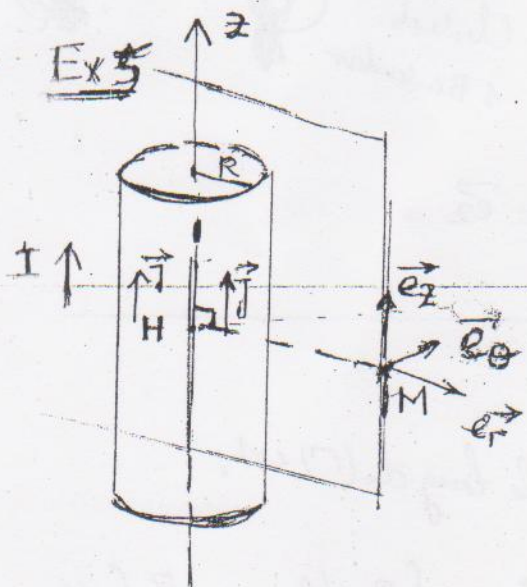
$$\oint_{(a)} \vec{B} \cdot d\vec{l} = \mu_0 \cdot L \cdot I$$

$$Q_{(b)}(\vec{B}) = \oint_{(b)} \vec{B} \cdot d\vec{l} = \mu_0 \sum_k \pm I_k \text{ enlacé (b)}$$

$$\oint_{(b)} \vec{B} \cdot d\vec{l} = 0$$

$$Q_{(c)}(\vec{B}) = \oint_{(c)} \vec{B} \cdot d\vec{l} = \mu_0 \sum_k \pm I_k \text{ enlacé (c)}$$

$$\oint_{(c)} \vec{B} \cdot d\vec{l} = \mu_0 \times I$$



On prend le système de coord
cylindrique pour décrire \vec{B} .

$$(\vec{e}_r, \vec{e}_\theta, \vec{e}_z) : M(r, \theta, z)$$

Soit H projection orthogonale de
 M sur \vec{e}_z .

1/ Symétrie

le plan Π défini par la droite HM et l'axe \vec{e}_z est
un plan de symétrie pour le courant \Rightarrow

$\vec{B}(M) \perp HM \Rightarrow \vec{B}(M) \parallel \vec{e}_z$. On peut écrire: $\vec{B} = B \vec{e}_z$.
les lignes de \vec{B} sont alors des cercles centrés sur l'axe \vec{e}_z
du conducteur.

Invariance

forte translation \parallel à l'axe \vec{e}_z , ainsi que toute rotation
autour de cette axe, laisse invariante la distribution
du courant $\Rightarrow \vec{B}(M) = \vec{B}(r, \theta, z) = \vec{B}(r) \vec{e}_z$.

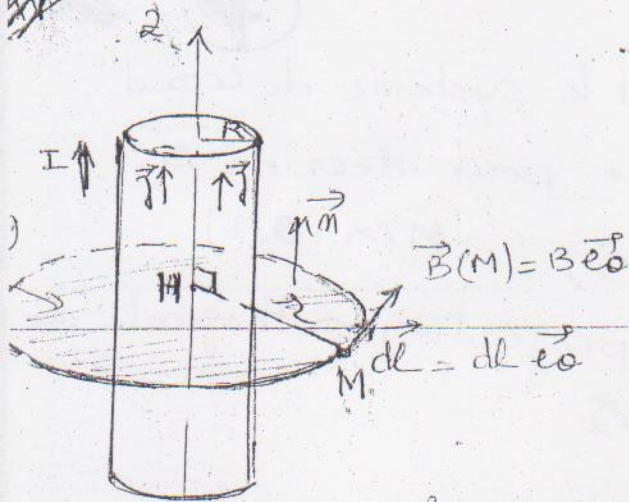
2/ Appliquons la théorie d'Ampère pour déterminer
l'expression de $\vec{B}(r)$.

la courbe d'Ampère (Γ) est choisie de la même forme
que les lignes de \vec{B} . $\Rightarrow \Gamma$ est un cercle de rayon r et
d'axe \vec{e}_z orienté dans le même sens de \vec{B} .

\Rightarrow la normale \vec{n} à la surface (S) limitée par (Γ) est
donc le même pas que le courant I ($n \parallel \vec{J}$)

$$\vec{n} = \vec{e}_z.$$

Onde 3 Jamil 1
4 Chueb 2
A Benkadar



$$\vec{m} = \vec{e}_2$$

la circulation de \vec{B} le long de (Γ) est :

$$\int_{(\Gamma)} \vec{B} \cdot d\vec{l} = \int_{(\Gamma)} B \vec{e}_0 \cdot dl \vec{e}_0 = \int_{\Gamma} B dl = B \int_{\Gamma} dl$$

$$\int_{(\Gamma)} \vec{B} \cdot d\vec{l} = B \times 2\pi r$$

selon le théorème d'Ampère, on a :

$$\int_{(\Gamma)} \vec{B} \cdot d\vec{l} = \mu_0 I_s$$

Donc : I_s est l'intensité traversant la surface S limitée par (Γ) .

on distingue 2 cas :

$$\text{1er Cas } r > R : I_s = I$$

le signe de I est positif puisque I est orienté dans le même sens que \vec{m} .

$$\Rightarrow B \times 2\pi r = \mu_0 I \Rightarrow B = \frac{\mu_0 I}{2\pi r} ; \vec{B}(M) = \frac{\mu_0 I}{2\pi r} \vec{e}_0$$

2^e Cas $r < R$: l'intensité qui traverse la surface (S)

limitée par (Γ) est :

$$I_s = \iint_S \vec{j} \cdot d\vec{s} = \iint_S \vec{j} \cdot \vec{m} ds (\text{avec } \vec{j} = j \vec{e}_2)$$

$$I_s = \iint_S j ds = j \times \pi r^2 = \frac{I \times \pi r^2}{\pi R^2} = \frac{I r^2}{R^2}$$

$$\Rightarrow \vec{B}(M) = \frac{\mu_0 I r^2}{2\pi R^2} \vec{e}_0 = \frac{\mu_0 I r}{2\pi R^2} \vec{e}_0$$

Serie n=2

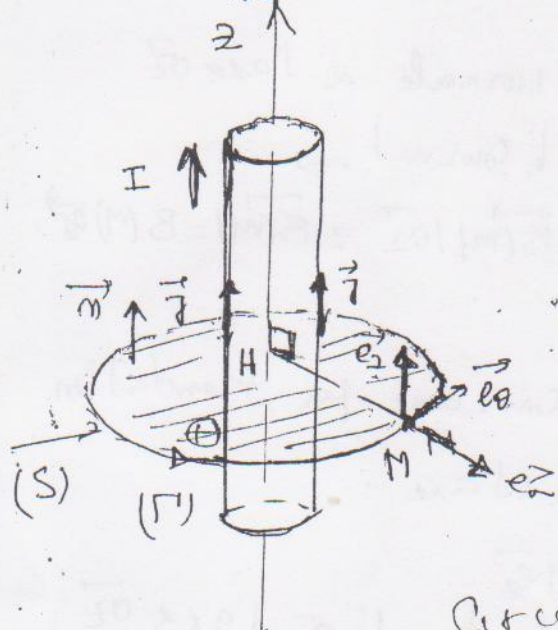
(1) ~~1~~

ExA : conducteur cylindrique -creux; répartition du courant de densité $\vec{f} = \frac{I}{2\pi r} \vec{e}_z$

Propriétés de symétrie et d'invariance :

$$(\text{Voir exercice 3}). \Rightarrow \vec{B}(r, 0, z) = B(r) \vec{e}_\theta$$

2.1 Théorème d'Ampère



(Γ) est une courbe circulaire de rayon r , d'axe \vec{OZ} orientée dans le même sens que \vec{B} .
La normale \vec{m} à (S) limitée par (Γ) est suivant \vec{e}_z : $\vec{m} = \vec{e}_z$ (\vec{m} sens que \vec{J})

Circulation de \vec{B} le long de (Γ) :

$$\oint_{(\Gamma)} \vec{B} \cdot d\vec{l} = B \times 2\pi r$$

Théorème d'Ampère:

$$\oint_{(\Gamma)} \vec{B} \cdot d\vec{l} = \mu_0 I_S$$

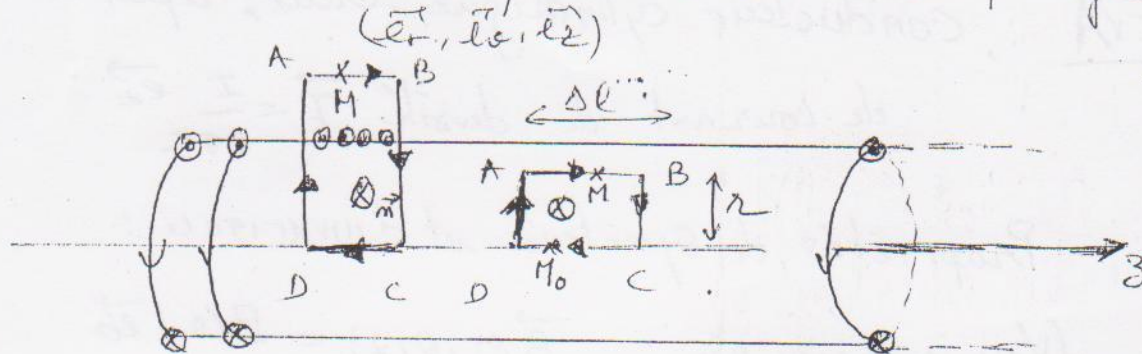
on distingue 2 cas:
 $r < R$... $I_S = 0$ aucun courant ne traverse la surface S limitée par (Γ) $\Rightarrow B(r) = 0$

$r > R$ $I_S = I$ (courant traversant S est I , orienté dans le sens de \vec{n}).

$$\Rightarrow B = \frac{\mu_0 I}{2\pi r}$$

Ex 2 Solénoides

On prend le système de coordonnées cylindrique :



Considérons un point M à l'intérieur du solénoid : $M(r, \theta)$

avec $0 < r < R$.

Symétrie : le plan (Π) passant par M et normale à l'axe OZ

est un plan de symétrie pour le courant \Rightarrow

$$\vec{B}(M) \text{ est } \perp \text{ à } (\Pi) \Rightarrow \vec{B}(M)/\vec{OZ} : \vec{B}(M)/\vec{e_2} = B(M)\vec{e_2}$$

Invariance :

on a invariance de la distribution de courant par translation.

Il y a \vec{OZ} et par rotation autour de cet axe

$$\Rightarrow \vec{B}(M) = \vec{B}(r, \theta, z) = \vec{B}(r) = B(r)\vec{e}_2$$

les lignes de champ sont donc droites II à l'axe OZ

Appliquons le théorème d'Ampère

Choix du contour : on prend un contour rectangle ABCD.

et par le point $M(r)$ situé dans le plan (\vec{e}_1, \vec{e}_2) passant par le point $M(r)$ à déterminer

la distance r de l'axe OZ où le champ $\vec{B}(r)$ à déterminer

et par le point $M_0(r=0)$ situé sur l'axe OZ où le

champ \vec{B}_0 est connu. (Voir figure)

$$\oint_{ABCD} \vec{B} \cdot d\vec{l} = \int_{AB} \vec{B} \cdot d\vec{l} + \int_{BD} \vec{B}_0 \cdot d\vec{l} + \int_{CD} \vec{B} \cdot d\vec{l} + \int_{DA} \vec{B} \cdot d\vec{l}$$

$$\text{Sur BC et DA: } \vec{B} \perp d\vec{l} \Rightarrow \oint_{ABCD} \vec{B} \cdot d\vec{l} = \int_{AB} \vec{B} \cdot d\vec{l} + \int_{CD} \vec{B} \cdot d\vec{l}$$

Sur AB $\vec{B} = B(r) \hat{e}_z$ et sur CD $\vec{B} = B_0 \hat{e}_z$ (3)

d'autre part le champ est constant sur AB et sur CD.

$$\Rightarrow \int_{ABCD} \vec{B} \cdot d\vec{l} = B(r) \int_{AB} dl - B_0 \int_{CD} dl \\ = (B(r) - B_0) \Delta l$$

Ampeïre $\int_{ABCD} \vec{B} \cdot d\vec{l} = \mu_0 I$ l'entouré par ABCD.

Aucun courant ne traverse la surface du rectangle ABCD.
Le fil - ci étant intérieur au solénoïde \rightarrow

$$I_{fil} = 0 \Rightarrow B(r) - B_0 = 0$$

$$\Rightarrow B(r) = B_0 = \mu_0 n I$$

On en déduit que le chp magnétique est uniforme à l'intérieur du solénoïde: pour $r < R$. $\vec{B}(r) = B_0 \hat{e}_z$.

2^e On prend maintenant M à l'extérieur du solénoïde
à la distance r de l'axe: $r > R$.

on prend un contour rectangulaire (d'un côté $r = 0$
on le chp est connu B_0 et l'autre en la distance r
on $\vec{B}(r)$ à déterminer.

Appliquons le théorème d'Ampeïre:

$$\int_{ABCD} \vec{B} \cdot d\vec{l} = B(r) \Delta l - B_0 \Delta l = \mu_0 n \Delta l \times I$$

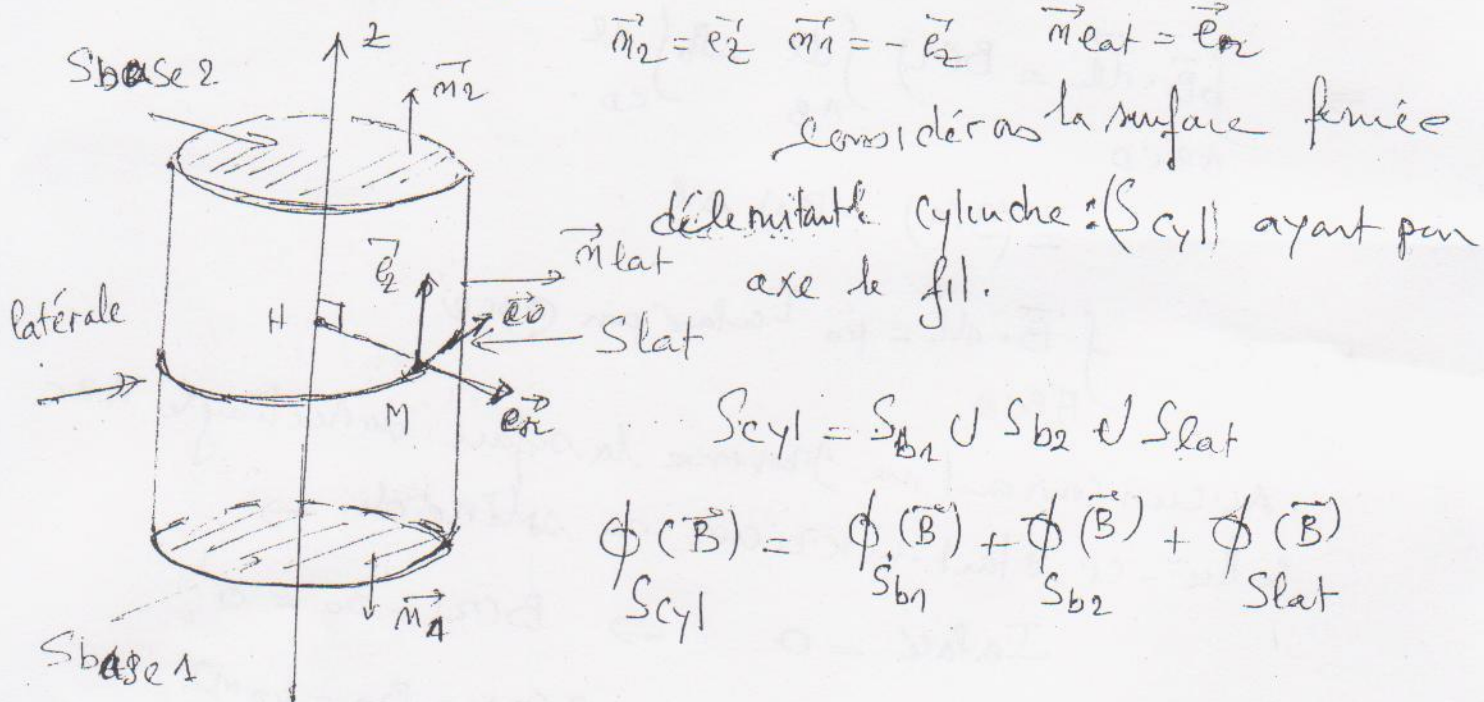
$$\Rightarrow B(r) = 0 \Rightarrow \vec{B}_{ext} = 0$$

Solénoïde $\Rightarrow \begin{cases} B_{int} = \mu_0 n I \\ B_{ext} = 0 \end{cases}$

Ex 3

~~Ex 3~~

Soit \vec{B} le champ magnétique produit par un fil infini en coordonnées cylindriques on a: $\vec{B} = B(r) \hat{e}_z$



$$\vec{n}_1 = \vec{e}_z \quad \vec{n}_2 = -\vec{e}_z \quad \vec{n}_{\text{lat}} = \vec{e}_R$$

Considérons la surface fermée

délimitante cylindre: (S_{cyl}) ayant pour axe de fil.

$$S_{\text{cyl}} = S_{b_1} \cup S_{b_2} \cup S_{\text{lat}}$$

$$\oint_{S_{\text{cyl}}} \vec{\phi}(\vec{B}) = \oint_{S_{b_1}} \vec{\phi}(\vec{B}) + \oint_{S_{b_2}} \vec{\phi}(\vec{B}) + \oint_{S_{\text{lat}}} \vec{\phi}(\vec{B})$$

$$\oint_{S_{\text{cyl}}} \vec{\phi}(\vec{B}) = \int_{S_{b_1}} \vec{B} \cdot \vec{e}_z \, dS + \int_{S_{b_2}} \vec{B} \cdot (-\vec{e}_z) \, dS + \int_{S_{\text{lat}}} \vec{B} \cdot \vec{e}_R \, dS$$

$\oint_{S_{\text{cyl}}} \vec{\phi}(\vec{B}) = 0 \Rightarrow$ le flux de \vec{B} à travers une surface cylindre fermie est nul. \Rightarrow

\rightarrow le flux de \vec{B} est conservatif.

2^e Soit $\phi_s(\vec{B})$: flux de \vec{B} à travers une surface (S) s'appuyant sur un contour fermé (Γ) orienté.

$$\phi_s(\vec{B}) = \iint_S \vec{B} \cdot \vec{n} \, dS \quad \text{ou} \quad \vec{B} = \nabla \times \vec{A} \Rightarrow$$

$$\phi_s(\vec{B}) = \iint_S \nabla \times \vec{A} \cdot \vec{n} \, dS \quad \text{d'après la formule de Stokes}$$

$$\text{particulièrement: } \phi_s(\vec{B}) = \iint_{\Gamma} \vec{A} \cdot d\vec{l}$$

(5)

Ex4

1: on se place en coord cylindriques ($\vec{e}_r, \vec{e}_z, \vec{e}_\theta$)

$\vec{e}_z \parallel$ à l'axe des bobines.

Tous les plans contenant l'axe des bobines sont des plans d'antisymétrie \Rightarrow Donc le champ mag

des plans \vec{e}_θ est contenu dans ces plans.

$$\text{Sur l'axe } \vec{e}_z \text{ est contenu dans les plans.} \Rightarrow \vec{B}(M) = B(M) \vec{e}_z$$

$$\Rightarrow \vec{B}(M) \parallel \vec{e}_z \Rightarrow \vec{B}(M) = B(M) \vec{e}_z$$

Le système est invariant pour rotation autour de l'axe \vec{e}_z $\Rightarrow \vec{B}(M)$ est indépendant de θ

$$\Rightarrow \vec{B}(M) = B(z) \vec{e}_z$$

2: le champ produit par les 2 bobines est la résultante des contributions de chaque bobine

$$B(z) = \frac{\mu_0 N I R^2}{2 \sqrt{(z+d)^2 + R^2}} + \frac{\mu_0 N I R^2}{2 \sqrt{(z-d)^2 + R^2}}$$

3: Ce champ présente un maximum en 0. En effet la dérivée de $B(z)$ s'écrit :

$$\frac{dB}{dz} = \frac{\mu_0 N I R^2}{2} \left(-\frac{3}{2} \frac{z(z+d)}{\sqrt{(z+d)^2 + R^2}} - \frac{3}{2} \frac{z(z-d)}{\sqrt{(z-d)^2 + R^2}} \right)$$

qui s'annule pour $z = 0$

Correction Série n°3

Electrotech STI PC

2012-2013.

Exercice 1

1) Champ magnétique produit par le solénoïde

$r < R_s$

$$\vec{B}(r) = \mu_0 n I \hat{z}$$

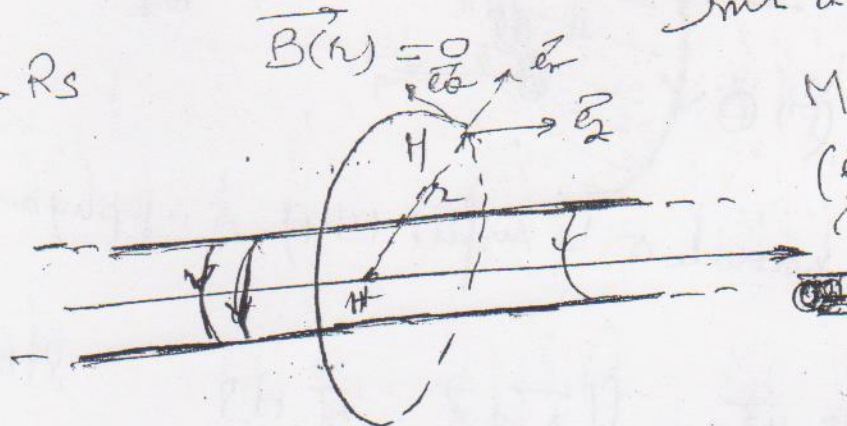
uniforme à

l'intérieur.

et à l'extérieur.

$r > R_s$

$$\vec{B}(r) = \frac{\mu_0 n I}{r} \hat{z}$$



$$M(r, \theta, z)$$

$$(r̂, \thetâ, ẑ)$$

repère

2) Symétrie
tout plan contenant l'axe \hat{z} du solénoïde est un plan d'antisymétrie pour le courant

$$\Rightarrow \vec{A} \text{ est } \perp \text{ à ces plans} \Rightarrow \vec{A} \parallel \hat{z}$$

Invariance
la distribution de courant est à symétrie cylindrique, donc invariante par translation d'axe \hat{z} et par rotation autour de cet axe.

$$\Rightarrow \vec{A}(r, \theta, z) = \vec{A}(r)$$

$$\Rightarrow \vec{A}(r) = A(r) \hat{z}$$

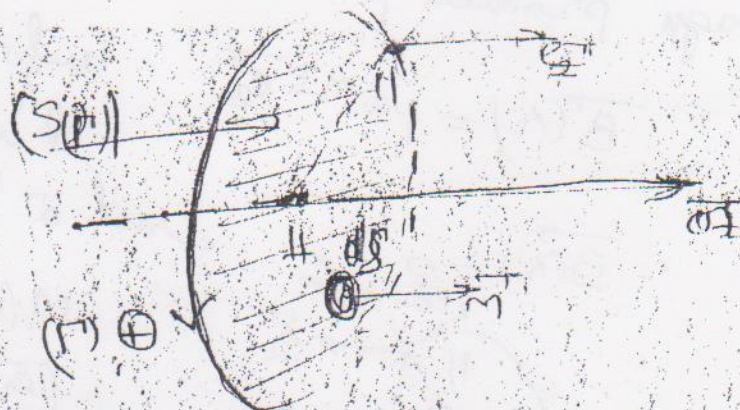
II

Calculons la circulation de \vec{A}

Contour choisi (Γ): cercle passant par M_1 , d'axe \vec{Oz}

et de rayon r .

Sens de circulation: celui de $\vec{e}_z \times \vec{e}_r$



m : vecteur normal à la surface (S_A) s'appuyant sur (Γ)

$$\vec{m} = \vec{e}_z$$

$$\text{On a: } \oint_{\Gamma} \vec{A} \cdot d\vec{l} = \iint_{S(A)} \vec{B} \cdot \vec{m} \, dS$$

stokes.

$$\oint_{\Gamma} \vec{A} \cdot d\vec{l} = \iint_{S(A)} A(r) \vec{e}_z \, r \, dr \, d\theta = \iint_{S(A)} A(r) r \, d\theta \, d\pi = A(r) \cdot \pi r^2$$

$$\iint_{S(A)} (\vec{B} \cdot \vec{n}) \, dS = \iint_{S(A)} \vec{B} \cdot \vec{m} \, dS = \iint_{S(A)} B \, dS \quad \begin{cases} \text{Flux de} \\ \text{B à tra} \\ (S_A) \end{cases}$$

B et \vec{m} sont linéaires.

$$P_m < R_s$$

$$\iint_{S(\Gamma)} B \cdot dS = B \iint_{S(\Gamma)} dS = B \times \pi r^2$$

$$= \mu_0 \sigma I_S \times \pi r^2$$

$$B = \frac{\mu_0 \sigma I_S}{2} r$$

Pour $r > R_s$, \vec{B} existe qu'à l'intérieur de la section S_A de rayon R_s . III

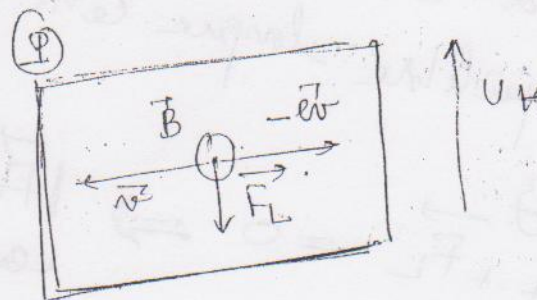
$$= \oint_{S_P} \vec{B} \cdot d\vec{s} = \iint_{S_A} \vec{B} \cdot d\vec{s} = B \iint_{S_A} dS = \mu_0 n I_S \times \pi R_s^2$$

$$\Rightarrow A(r) = \frac{\mu_0 n}{2} \frac{R_s^2}{\pi} I_S.$$

Exercice 2
Sous l'effet de \vec{B} , les é de conduction en mouvement à la vitesse \vec{v} sont soumis à la force de Lorentz

$$\vec{F}_L = q \vec{v} \wedge \vec{B} = q v B \hat{e}_y \quad \text{or } \theta = 90^\circ \\ = -e \vec{v} \wedge \vec{B}$$

Cette force est dans le plan du ruban

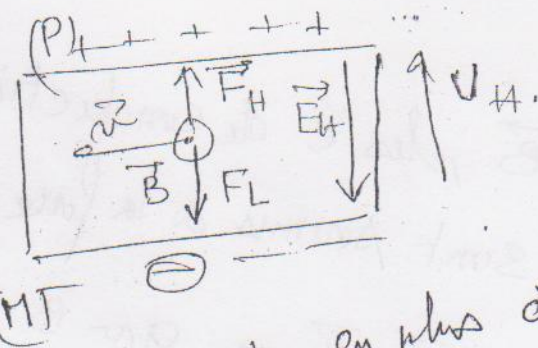


(M) : la face M est chargée négativement, donc la face P devient chargé positivement. (par défaut d'électrons)

X

Il apparaît donc entre les 2 faces une différence de potentiel, appelée tension de Hall V_H dirigée de (M) vers (P)

2.1 du fait de la tension de Hall, il apparaît dans le plan un champ électrique \vec{E}_H , dirigé dans le sens des potentiels décroissant, donc orienté de P vers M.



les é. sont donc soumis en plus à une force électrique de Hall, $\vec{F}_H = q \vec{E}_H = -e \times \vec{E}_H$

\vec{F}_H est opposé à \vec{F}_L .
On atteint un équilibre lorsque cette force complète

$$\vec{F}_H + \vec{F}_L = 0 \Rightarrow |\vec{F}_H| = |\vec{F}_L| \text{ en module}$$

$$\Rightarrow |\vec{F}_H| = e \times E \quad |\vec{F}_L| = e n B$$

$$\text{Comme } E = \frac{V_H}{a} \Rightarrow n B = \frac{V_H}{a}$$

$$\Rightarrow V_H = a n B$$

En faisant appelle au vecteur densité de courant \vec{J}
 (n : densité des îlots de courant)

$$\vec{J} = n \vec{q} \vec{v}$$

Le module $J = |\vec{J}| = n e v$

Le courant est donné par : $I = J \times S = J \times ab$

Donne l'expression de N :

$$N = \frac{I}{abme}$$

$$\Rightarrow M_H = \frac{a \times I}{abme} \times B = \frac{IB}{n \times e \cdot b}$$

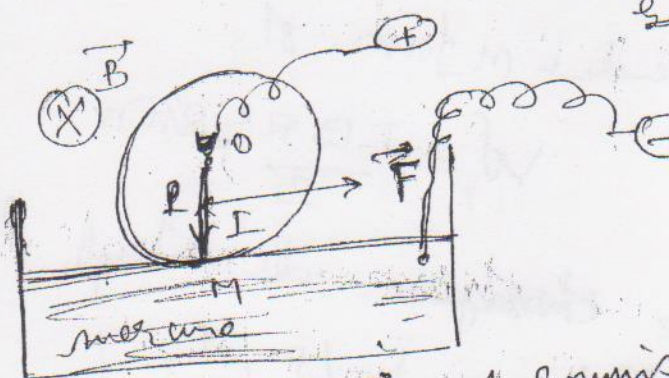
en écrivant sous la forme

$$M_H = R_H \times \frac{IB}{b}$$

$$avec R_H = \frac{1}{ne}$$

R_H : appelé coefficient de Hall

Exercice 3



Chaque élément dl de \vec{OH} est soumis à la force de Laplace

$$dF = I dl \wedge \vec{B} = IB dl \vec{ex}$$

La force résultante est donc \vec{F} à OP et
a pour expression :

$$\vec{F} = IRB \vec{ex}$$

2) Le moment de \vec{F} par l'axe de rotation A

$$\Gamma = \vec{OP} \wedge \vec{F} = \frac{R}{2} \times F \times \vec{e}_z$$

$$\Gamma = \frac{IBR^2}{2} \vec{e}_z$$

3) Le travail de la force de la plate forme
rotatoire élémentaire $d\theta$ est :

$$dW = \Gamma d\theta = \frac{IBR^2 d\theta}{2}$$

Le travail est rendu en force.

$$W = \frac{IBR^2 \times 2\pi n}{2}$$

du moteur lors de la

la puissance ~~éliminée~~

réelle effectuée en W/s est :

$$P = \frac{W}{t} = \frac{IBR^2 \times 2\pi n}{2} = IBREn.$$

Correction de la Série n°3

DM

Électricité

Exercice 4.

1. flux magnétique

- $x < 0$ bobine en dehors du chp : $\phi = 0$
- $0 < x \leq a$ bobine entre dans le chp : $\phi = NBh x$
- $a < x \leq a+d$ bobine entièrement dans le chp : $\phi = NBh a$
- $d < x \leq a+d$ bobine quitte le chp : $\phi = NBh(a+d-x)$
- $a+d < x$ bobine quitte complètement le chp $\phi = 0$.

$$2. \text{ f-e.m. induite : } e = -\frac{d\phi}{dt} = -\frac{d\phi}{dn} \times \frac{dn}{dt} = -N \frac{d\phi}{dx}$$

$$x < 0 : e = 0$$

$$0 < x \leq a : e = NBhV$$

$$a < x \leq a+d : e = 0$$

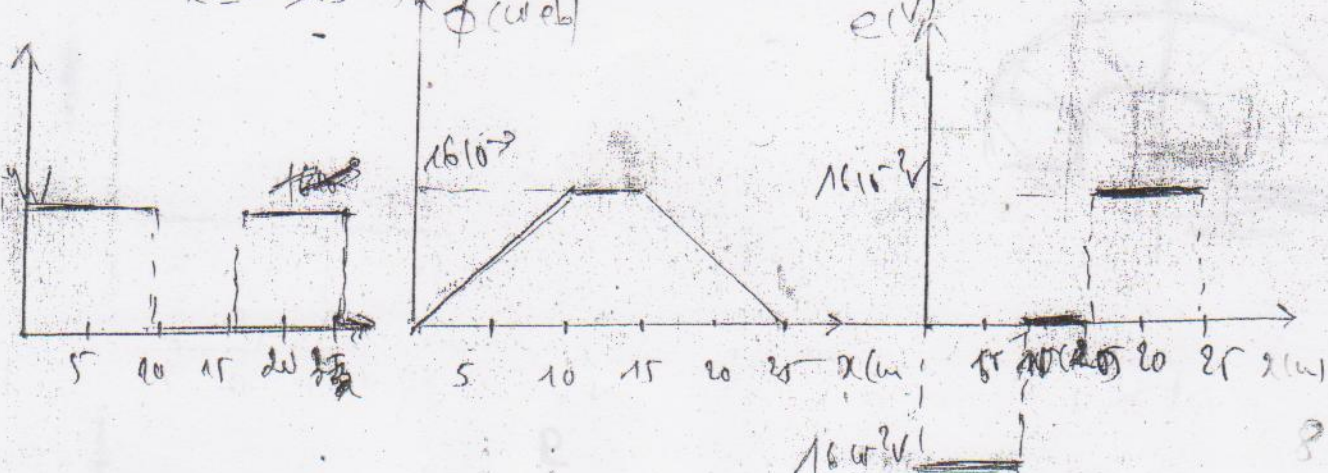
$$d < x \leq a+d : e = -NBhV$$

$$x > a+d : e = 0$$

$$3. \text{ la puissance dissipée } P = e \times i = \frac{e^2}{R}$$

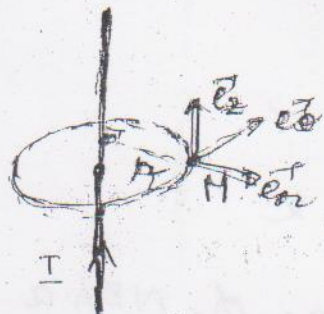
$$\text{ Si } e = \pm 16 \cdot 10^{-2} \text{ V } \Rightarrow P = 16 \cdot 10^{-4} \text{ W.}$$

$$R = 16 \Omega$$



Exercice 5

Soit \vec{B} dépendant par le fil infini : $\vec{B} = \frac{\mu_0 I}{2\pi r} \hat{e_\theta}$



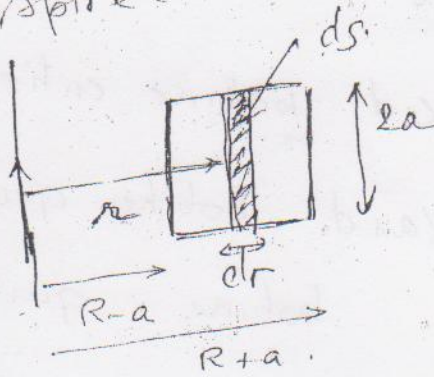
Soit ϕ le flux de \vec{B} à travers une spirale d'aire.

$$\phi = \iint_S \vec{B} \cdot \vec{ds} = \iint_S B ds$$

ds est la surface élémentaire
du rectangle de largeur dr

$$ds = dr \times da$$

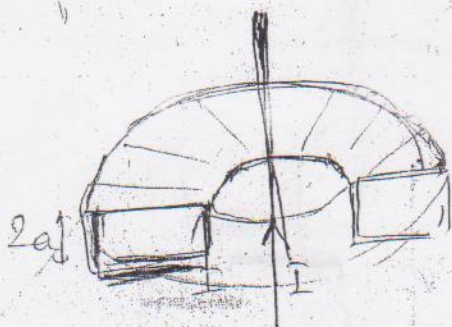
$$\phi = \int_{R-a}^{R+a} \frac{\mu_0 I}{2\pi r} \cdot da dr = \frac{\mu_0 I a}{\pi} \ln\left(\frac{R+a}{R-a}\right)$$



le flux à travers le fore est alors

$$\phi_T = N \phi = \frac{N \mu_0 I a}{\pi} \ln\left(\frac{R+a}{R-a}\right)$$

$$\Rightarrow M = \phi/I = \frac{N \mu_0 a \ln(R+a)}{\pi} (R-a)$$



Suite corresp. Série 3.
Électricité 2

Ex 6

1/ expression de la f.e.m induite dans la bobine.

1^e méthode : Loi de Faraday.

soit ϕ le flux du \vec{B} qui traverse la bobine

$$\phi(\vec{B}) = \frac{Nb}{\text{bobine}} \iint_{\text{Secteur de la bobine}} \vec{B} \cdot \vec{m} dS$$

$$\phi(\vec{B}) = Nb \times \mu_0 m I R_s^2$$

la f.e.m induite dans la bobine, d'après la loi de Faraday : $e = -\frac{d\phi}{dt} = \mu_0 N_b m R_s^2 \omega I_m \sin(\omega t)$

2^e méthode : soit \vec{E}_m le champ électromoteur de Neumann.

$$\vec{E}_m = -\frac{\partial \vec{A}}{\partial t} = -\frac{\mu_0 m}{2} \frac{R_s^2}{\pi} \frac{dI}{dt} \vec{e}_0$$

la circulation de \vec{E}_m le long d'une spirale de la bobine dans le sens de \vec{e}_0 :

$$\oint \vec{E}_m \cdot d\vec{l} = \int -\frac{\mu_0 m}{2} \frac{R_s^2}{\pi} \frac{dI}{dt} dl$$

spirale

$$= \mu_0 m R_s^2 \pi \omega I_m \sin(\omega t)$$

la f.e.m induite est alors :

$$e = Nb \oint \vec{E}_m \cdot d\vec{l}$$

$$e = \mu_0 N_b m R_s^2 \pi \omega I_m \sin(\omega t).$$

3) Donc ϕ le flux produit par le solénoïde à travers la bobine, on a par défaut:

$$\phi = M \times I \Rightarrow M = \phi/I.$$

$$M = \mu_0 N_b m \pi R_s^2$$

Ex7 La densité d'énergie est donnée par $U_m = \frac{B^2}{2\mu_0}$.

Le densité d'énergie est donnée dans le solénoïde: $W_m = \iiint_V U_m dV = \iint_Y \frac{B^2}{2\mu_0} dC$

V : Volume du solénoïde
 B est uniforme à l'intérieur du solénoïde et nul à l'extérieur.

$$W_m = \frac{B^2}{2\mu_0} V = \frac{\mu_0^2 N^2 I^2}{2\mu_0} \cancel{V}$$

$$V = \pi R^2 l \Rightarrow W_m = \frac{\mu_0 N^2 \pi R^2 I^2}{2l}$$

$$W_m = \frac{1}{2} L I^2 \Rightarrow \underline{L = \frac{\mu_0 N^2 \pi R^2}{I}}$$

SMPC (S3)
2012 - 2013.

Correct = série n° 4

①

Électricité 2

Ex 1 Par définition du coefficient d'autos-inductance

$$L = \frac{\phi}{I} : \phi : \text{flux propre du circuit}$$

parcourue par le courant I

On choisit le repère $(0; \vec{e}_1, \vec{e}_2, \vec{e}_3)$, le plan Π est repéré
par les coord cylindriques (r, θ, z) .

On cherche premièrement le champ \vec{B} créé par le tore
parcouru par le courant I. en un point située à l'intérieur
pour calculer le flux de \vec{B} à travers le tore et en
déduire L.

Symétrie : tout plan (Π) passant par Δ est un plan

$$\text{de symétrie} \Rightarrow \vec{B} \perp (\Pi) \Rightarrow \vec{B} = B \vec{e}_0$$

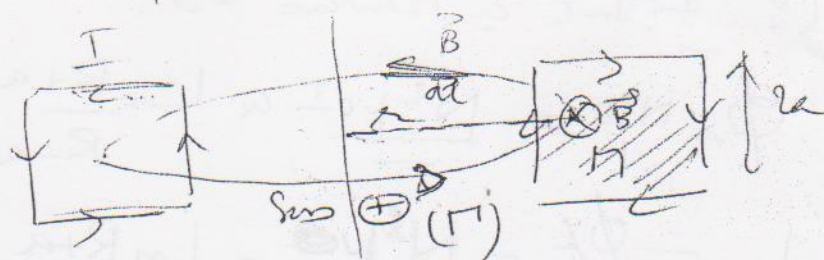
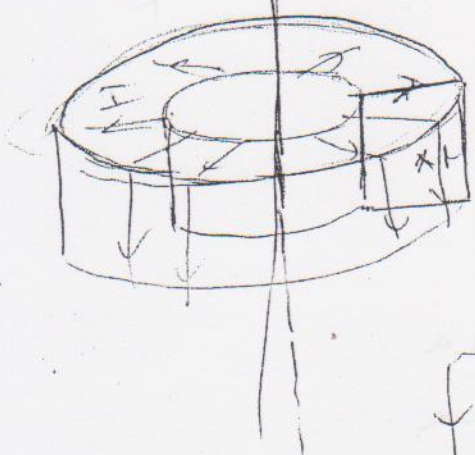
les lignes de \vec{B} sont des cercles d'axes Δ .

appliquons le théorème

d'Ampère, en prenant comme

contour (Γ) la circonference d'axe Δ

formant N de turns sur r.



$$\oint \vec{B} \cdot d\vec{l} = \mu_0 I$$

\vec{B} et $d\vec{l}$ sont colinéaires

B ne dépend que de la distance r/a .

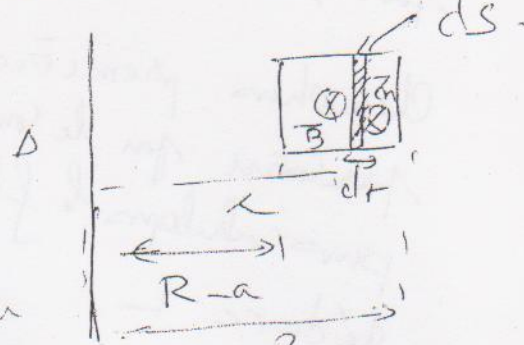
$$\Rightarrow \oint B \times d\vec{l} = \mu_0 N I$$

$$\Rightarrow \vec{B} = \frac{\mu_0 N I}{2\pi r} \hat{r}$$

à l'extérieur du tore il n'y a pas de champ magnétique.

Calcul des flux de \vec{B} à travers une spirale du tore :

$$\Phi = \iint_S \vec{B} \cdot \vec{ds}$$



ds est la surface élémentaire du

rectangle de largeur dr et de hauteur la $ds = 2a \times dr$ portée par la distance r de \vec{B} .

\vec{B} et ds sont colinéaires.

$$\Phi = \iint_S \vec{B} \cdot \vec{ds} = \int_{R-a}^{R+a} B 2a dr = \frac{\mu_0 N I a}{\pi} \int_{R-a}^{R+a} \frac{1}{r} dr$$

$$\Phi = \frac{N \mu_0 I}{\pi} a \ln \frac{R+a}{R-a}$$

le flux total à travers le tore :

$$\Phi = N \phi = \frac{N \mu_0 I}{\pi} a \ln \frac{R+a}{R-a}$$

Amor.

$$\Rightarrow L = \phi/I = \frac{N \mu_0 I}{\pi} a \ln \frac{R+a}{R-a}$$

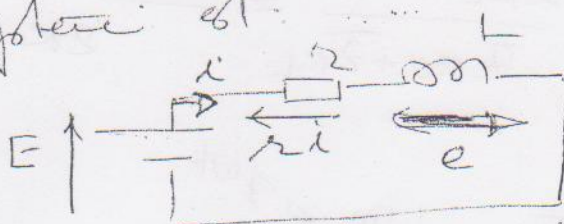
2) En fermant l'interrupteur le courant dans le tore passe de 0 à $I(t)$. à l'instant t.

I varie $\Rightarrow \vec{B}$ varie $\Rightarrow \phi$ varie.

Une flèche indique apparaît sur le tore qui s'oppose à cette variation de I . : $e = -\frac{d\phi}{dt} = -L \frac{dI}{dt}$.

Le Système fondamental électrique équivaut à

3) Système est :



Appliquons la loi des mailles :

$$E = ri - e \Rightarrow L \frac{di}{dt} + RI = E.$$

La solution de cette équation différentielle se écrit :

$$I(t) = \frac{E}{R} \left(1 - e^{-\frac{R}{L}t} \right).$$

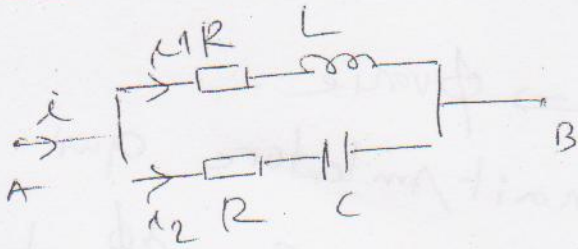
I varie de 0 à $I_0 = \frac{E}{R}$ qui correspondent

au régime permanent.

4) lorsque le régime permanent est atteint, l'énergie totale emmagasinée par le tore est

$$W = \frac{1}{2} L (I_0)^2 = \frac{1}{2} L \left(\frac{E}{R}\right)^2$$

(4)

Ex

$$u(t) = Um \cos(\omega t)$$

$$1) \quad Z_{RC} = R + \frac{1}{j\omega} = R(1-j) \quad Z_{RL} = R + jL\omega = R(1+j)$$

$$Z = Z_{RC} // Z_{RL} \Rightarrow Z = \frac{Z_{RC} \cdot Z_{RL}}{Z_{RC} + Z_{RL}} = \frac{R^2(1-j)(1+j)}{2R}$$

$$2) \quad Z = R \quad \bar{Z} = \frac{\bar{U}}{Z} = \frac{Um}{R} e^{j\omega t}$$

$$e(t) = f_e(\bar{U}) = \frac{Um}{R} \cos(\omega t)$$

$$\bar{x}_1 = \frac{\bar{U}}{Z_{RL}} = \frac{Um e^{j\omega t}}{R(1+j)} = \frac{Um}{RV_2} e^{j\omega t} e^{-j\pi/4}$$

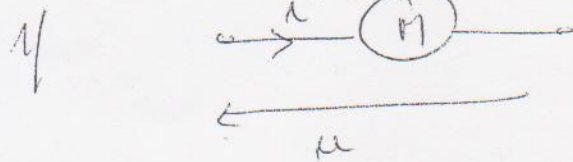
$$x_1(t) = \text{Re}(\bar{x}_1) = \frac{Um}{RV_2} \cos\left(\omega t - \frac{\pi}{4}\right)$$

$$\bar{x}_2 = \frac{\bar{U}}{Z_{RC}} = \frac{Um e^{j\omega t}}{R(1-j)} = \frac{Um}{RV_2} e^{j\omega t} e^{-j\pi/4} = \frac{Um}{RV_2} e^{j\omega t - \frac{\pi}{4}}$$

$$x_2(t) = \text{Re}(\bar{x}_2) = \frac{Um}{RV_2} \cos\left(\omega t - \frac{\pi}{4}\right)$$

Ex3

5



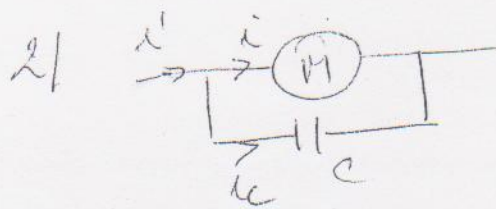
$$e = U \sqrt{2} \cos(\omega t)$$

$$i = I \sqrt{2} \cos(\omega t - \varphi)$$

$$U = 220V \quad I = 3A \quad f = 50Hz \quad \text{voie}$$

$\rightarrow \varphi < 0$ appareil composé de self et resistance.

$$P = U \times I \cos \varphi \Rightarrow \cos \varphi = \frac{P}{U \times I} = 0.781 \Rightarrow \varphi = +39^\circ$$



$$\text{Loi des nœuds } i' = i + i_C$$

$$i' = I' \times \sqrt{2} \cos(\omega t - \varphi')$$

$$i_C = \frac{di}{dt} = C \frac{du}{dt} = C \omega U \sin(\omega t) - \omega U \times \sqrt{2} \sin(\omega t)$$

$$i_C = +C \omega U \sqrt{2} \cos(\omega t + \pi/2)$$

methode de Fresnel

on associe à i , i_C , i' les vecteurs de Fresnel

$$\vec{r}(I\sqrt{2}, -\varphi), \vec{r}_C(C\omega U \sqrt{2}, \pi/2), \vec{r}'(I', -\varphi')$$

La loi des nœuds donnent la relation de F.

$$\vec{r}' = \vec{r} + \vec{r}_C \quad (1)$$

représenté :



projection de ① sur \vec{u}

$$I' \cos \varphi' = I \cos \varphi \quad ②$$

⑥

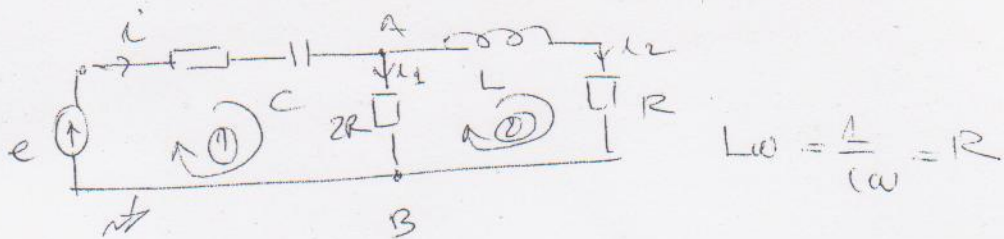
proj. de ① sur \vec{v}

$$-I' \sin \varphi' = -I \sin \varphi + U(1) \quad ③$$

$$\frac{③}{②} \Rightarrow -f_{g\varphi'} = -f_g \varphi + \frac{U(\omega)}{I \cos \varphi}$$

$$f_{g\varphi'} = f_g \varphi - \frac{U(\omega)}{I \cos \varphi}.$$

Ex 4



1/ Loi de kirchhoff: $\sum \text{courants en tout noeud} = 0$

$$\text{Loi des noeuds: } \bar{i} = \bar{i}_1 + \bar{i}_2 \Rightarrow \bar{i}_1 = \bar{i} - \bar{i}_2 \quad ①$$

Loi des mailles:

$$\text{maille ①: } \bar{e} - (R + \frac{L}{\omega}) \bar{i} - 2R \bar{i}_1 = 0 \quad ②$$

$$\text{maille ②: } 2R \bar{i}_1 - (\omega L + R) \bar{i}_2 = 0 \quad ③$$

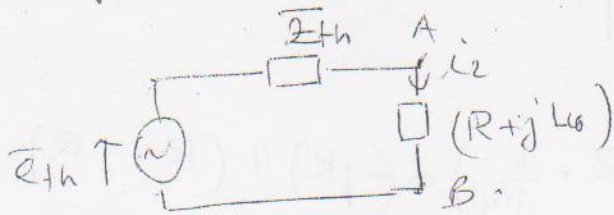
- on remplace \bar{i}_1 par $\bar{i} - \bar{i}_2$

$$\Rightarrow \begin{cases} \frac{\bar{e}}{R} = (3-1)\bar{i} - 2\bar{i}_2 \\ 0 = -2\bar{i} + (3+1)\bar{i}_2 \end{cases} \Rightarrow \bar{i}_2 = \frac{\bar{e}}{3R}$$

$$i_2 = \text{Re}(\bar{i}_2) = \frac{E_m \cos(\omega t)}{3R}.$$

2) Théorie de Thévenin

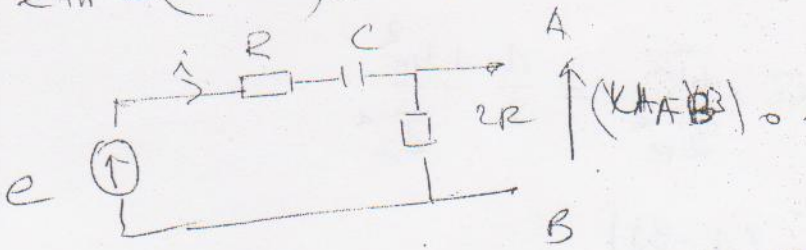
Vue entre A et B le circuit n'est équivalent



$$I_2 = \frac{\overline{E}_{th}}{\overline{Z}_{th} + R + jL\omega} = \frac{\overline{E}_{th}}{\overline{Z}_{th} + R(1+j)}$$

Calcul de \overline{E}_{th} .

$$\overline{E}_{th} = (\overline{Y}_A - \overline{Y}_B) \text{ à v.c.c.} = \overline{U}_{AB} \Big|_0$$



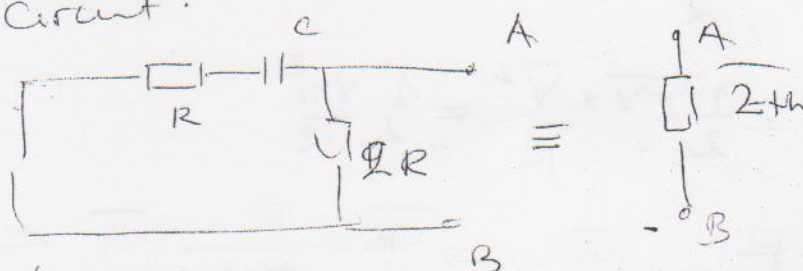
$$\overline{U}_{AB} \Big|_0 = \frac{eR \times \overline{e}}{(3R + \frac{1}{j\omega})} = \frac{eR \overline{e}}{R(3-j)} = \frac{2}{3} \frac{\overline{e}}{3-j}$$

Calcul de \overline{Z}_{th}

entre A et B source en

\overline{Z}_{th} : impédance vue entre

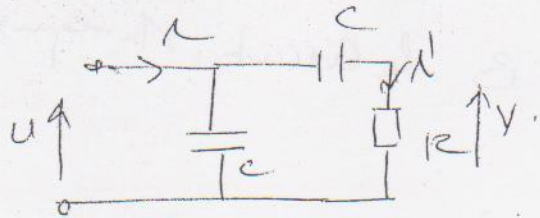
court-circuit.



$$\overline{Z}_{th} = (2R) \parallel (R + \frac{1}{j\omega})$$

$$= \frac{2R(1-j)}{3-j} \Rightarrow I_2 = \frac{\overline{E}_{th}}{\overline{Z}_{th} + R(1+j)} = \frac{\overline{e}}{3R}$$

Ex 5



8

1) $\bar{Z}_e = \frac{\bar{U}}{\bar{I}} = \left(\frac{1}{j\omega}\right) \parallel \left(R + \frac{1}{j\omega}\right) = (-jR) \parallel (R - jR)$

$$\bar{Z}_e = -\frac{R(1+j)}{1-2j} = \frac{R}{8} (1-3j).$$

2) puissance fournie par le générateur P_1

$$\bar{P}_1 = \frac{1}{2} \bar{U} \bar{I}^*$$
 puissance complexe

$$= \frac{1}{2} \bar{U}_e \times \frac{\bar{U}_e}{\bar{Z}_e} = \frac{1}{2} \frac{U_m^2}{\bar{Z}_e}$$

$$\bar{P}_1 = \frac{U_m^2}{4R} (1-3j)$$

$$P_1 = f_e(\bar{P}_1) = \frac{U_m^2}{4R}$$

puissance耗散 par la résistance

$$\bar{P}_2 = \frac{1}{2} \bar{V} \times \bar{I}^* \quad \text{et} \quad \bar{I} = \frac{\bar{V}}{R}$$

$$\bar{P}_2 = \frac{1}{2} \bar{V} \times \frac{\bar{V}^*}{R} = \frac{1}{2} \frac{V_m^2}{R}$$

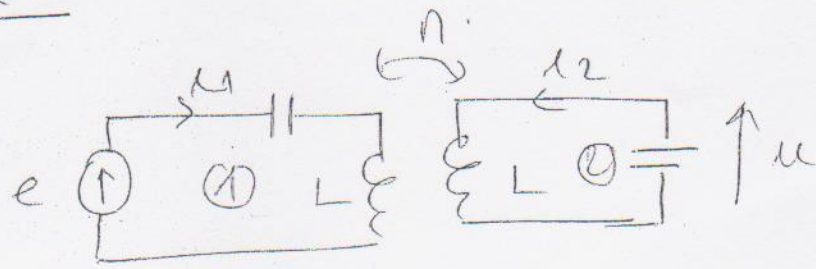
avec $\bar{V} = \frac{R}{R+\frac{1}{j\omega}} \times \bar{U} \Rightarrow \bar{V} = \frac{R}{R(1-j)} \bar{U} = \frac{1}{(1-j)} \bar{U}$

$$V_m = \frac{U_m}{\sqrt{2}} \quad \Rightarrow \quad P_2 = \frac{1}{2} \frac{U_m^2}{R(\sqrt{2})^2} = \frac{1}{4R} U_m^2$$

la puissance fournie par le générateur est consommée par la résistance, le condensateur ne consomme pas de

(9)

Ex 6



membre ①

$$\bar{e} = \frac{1}{j\omega} \bar{x}_1 + jL\omega \bar{x}_1 + jM\omega \bar{x}_2 \quad ①$$

membre ②

$$\bar{x}_1 = jL\omega \bar{x}_2 + jM\omega \bar{x}_1 \quad \cancel{\text{et } \bar{x}_2} \quad ②$$

$$\bar{x}_1 = -\frac{1}{j\omega} \bar{x}_2 \quad ③$$

$$② \text{ et } ③ \Rightarrow \bar{x}_1 = \frac{j\bar{z}}{M\omega} \bar{x}_2 \quad \text{en posant } \bar{z} = j(L\omega - \frac{1}{\omega})$$

$$④ \text{ et } ① \Rightarrow \bar{e} = \left(\frac{1}{j\omega} + jL\omega \right) \frac{j\bar{z}}{M\omega} \bar{x}_2 + jM\omega \bar{x}_2$$

$$\bar{e} = \frac{1}{M\omega} \bar{z} \times \frac{j\bar{z}}{M\omega} \bar{x}_2 + jM\omega \bar{x}_2$$

$$\bar{e} = \left(\frac{\bar{z}^2}{M\omega} + M\omega \right) j \times \bar{x}_2 \quad ⑤$$

$$\frac{③}{⑤} \Rightarrow \frac{\bar{x}_1}{\bar{e}} = -\frac{1}{j\omega} \frac{\frac{1}{j\omega} \bar{x}_2}{\left(\frac{\bar{z}^2}{M\omega} + M\omega \right) j} = \frac{\frac{1}{j\omega}}{\frac{\bar{z}^2}{M\omega} + M\omega}$$